

ПРИБОР, ВЫПОЛНЯЮЩИЙ ПРЕОБРАЗОВАНИЕ ФУРЬЕ

Максу Борну^{1,2} принадлежит идея весьма изящного прибора, представляющего собой развитие фотоэлектрического гармонического анализатора, предложенного в 1938 г. Мейтгомери³. Такой же прибор почти одновременно и, повидимому, независимо был сконструирован Брауном и Литтлтоном⁴, причём обе конструкции оказались очень похожими. Речь идёт о приборе, автоматически выполняющем преобразование Фурье для произвольной функции $f(x)$, заданной на конечном интервале, когда эта функция представлена либо графически, либо „фотографически“, т. е. изменением плотности почернения фотоплёнки.

Преобразование Фурье для функции $f(x)$ выражается, как известно, соотношением

$$g(y) = \frac{1}{\sqrt{2\pi}} \int_{-\infty}^{+\infty} f(x) e^{-yx} dx, \quad (1)$$

где $g(y)$ — сопряжённая лапласовская функция. Само преобразование иногда также называется преобразованием Лапласа.

Действительное вычисление интеграла (1) выполняется аналитически лишь в простейших случаях, а графически, при сколько-нибудь сложной функции $f(x)$, связано с большой затратой времени. Описываемый в реферируемых статьях прибор выполняет требуемое преобразование в несколько секунд.

Принцип его работы очень прост и основан на следующем. Интеграл (1) можно разбить на действительную и мнимую части; в первую от e^{-yx}

войдёт $\cos ux$, а во вторую $\sin ux$, или $\cos(ux + \frac{\pi}{2})$. Относительно функции $f(x)$ предполагается, что она действительная и задана лишь на конечном интервале (a, b) . Для большинства практических случаев последнее обстоятельство не представляет никаких неудобств.

Задача отыскания функции

$$g(y) = R(\cos y) + iK(\sin y)$$

сводится, таким образом, к отысканию двух функций вида

$$\psi(y) = \int_a^b f(x) \cos(yx + \delta) dx \quad (2)$$

при значениях $\delta = 0$ и $\delta = \frac{\pi}{2}$. Эту операцию и выполняет прибор.

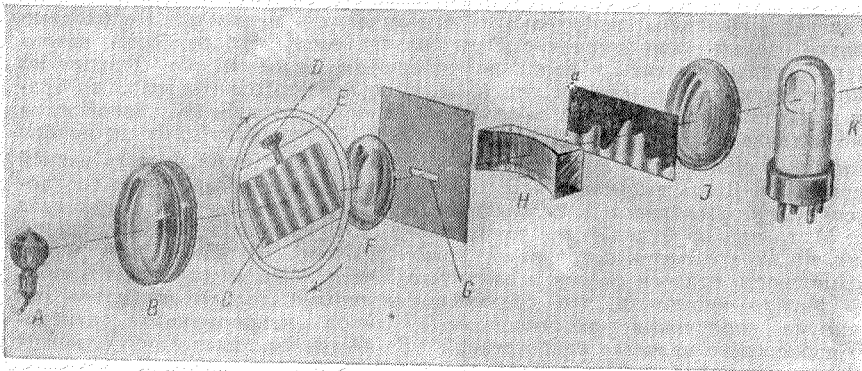
Для этого, прежде всего, вычерчивают функцию $f(x)$ в определённом масштабе, и вырезают затем по её контуру транспарант из чёрной бумаги так, что прозрачной остаётся площадь, расположенная ниже кривая функции. Изготовленный транспарант (или в случае, когда функция представлена не графически, а фотографически, вариацией плотности, то соответствующий кадр плёнки) помещается перед окном прибора. Если на окшко направить однородный пучок света, то прспущенный транспарантом (или плёнкой) световой

поток будет пропорционален $\int_a^b f(x) dx$; пределы интеграции (a, b) определя-

ются, в принятом масштабе, шириной окна. Если же пучок света будет не однородным, а синусоидально изменяющимся по интенсивности вдоль оси x с пе-

риодом $\lambda = \frac{2\pi}{y}$, то прошедший световой поток окажется пропорциональ-
 ным величине интеграла (2) для данного значения y . В действительности
 приходится учитывать, во-первых, что глубина синусоидальной „модуляции“
 пучка света не равна 100%, и, во-вторых, что в случае функций $f(x)$, при-
 нимающих также и отрицательные значения, транспарант изображает функ-
 ции $f(x) + \text{const}$, где постоянная равна максимальному отрицательному
 значению функции. Это приводит к появлению постоянных членов в выра-
 жении (2) и, следовательно, непропорциональности проходящего света
 функции $\psi(y)$. Соответствующую аддитивную постоянную приходится вво-
 дить в окончательные показания прибора.

Способом, поясняемым ниже и отличающим описываемый как в ^{1,2},
 так и в ⁴ прибор от первоначальной конструкции Монтгомери, простран-
 ственный период λ освещающего пучка может непрерывно изменяться от
 $\lambda = \lambda_{\min}$ ($y = y_{\max}$) до $\lambda = \infty$ ($y = 0$). Изменяющийся при этом процессе све-
 товой поток за транспарантом и представляет собой (с указанными ограни-
 чениями) функцию $\psi(y)$ в её изменении от $\psi(0)$ до $\psi(y_{\max})$. Приёмником све-
 тового потока служит фотоэлектронный умножитель. Предварительно уси-
 ленный фототок умножителя подаётся на верхикальные обкладки катодно-
 го осциллографа, на горизонтальные обкладки которого подана соответств-



ющая развёртка времени (в приборе Брауна и Литтлтона подача на осцил-
 лограф несколько иная). При достаточно быстром периодическом изме-
 нении y луч осциллографа чертит на экране непосредственно график
 функции $\psi(y)$, который можно сфотографировать и измерить.

Рисунок поясняет оптическую схему прибора. За источником света A и
 конденсором B расположен „синус-экран“ C , т. е. экран, прозрачность ко-
 торого изменяется синусоидально в направлении некоторой оси. С помощью
 установочного винта (D) „синус-экран“ может смещаться вдоль этой оси в
 своей кольцевой оправе E , что позволяет менять угол δ в формуле (2).
 Кольцо E вращается, причём ось вращения совпадает с оптической осью
 прибора, проходящей точно через центр узкой щели G , на которую линза
 F фокусирует изображение „синус-экрана“. Вдоль длины щели (ширина
 которой должна быть $\ll \lambda_{\min}$) получается синусоидальное распределение
 освещённости с пространственным периодом, меняющимся при вращении
 „синус-экрана“ от λ_{\min} до ∞ . Цилиндрическая линза H даёт в своей фо-

кальной плоскости распределения света в виде вертикальных полос, освещающая находящийся здесь транспарант. Полосы периодически сжимаются и расходятся, следуя за вращением „синус-экрана“, и в течение каждого полупериода изменение величины светового потока даёт функцию $\phi(y)$.

С помощью линзы J световой поток, прошедший через транспарант, концентрируется на фотоземле (фотоумножитель) K , и фототок, как уже указано, подаётся на осциллограф. Благодаря вращательному движению „синус-экрана“, график функции $\phi(y)$ на экране осциллографа располагается симметрично по обе стороны от абсциссы $y=0$, т. е. даёт как $\phi(y)$, так и $\phi(-y)$. Для получения на экране линейной оси y развёртка времени должна быть синусоидальной.

В статье² приведён ряд фотографий полученных осциллограмм для некоторых простых случаев. Сравнение с данными вычислений даёт вполне удовлетворительный результат. Точность прибора, вероятно, без особого труда можно повысить.

Прибор, построенный Брауном и Литтлтоном⁴, отличается от описанного тем, что предназначен для анализа тонфильмов. Фототок здесь управляет не отклонением луча осциллографа, а яркостью пятна на экране. С помощью развёртки пятно растягивается в голоску спектра. При протягивании фильма перед окном прибора этот спектр непрерывно изменяется, и получаемая картина фотографируется на синхронно движущуюся киноплёнку. Таким образом, гармонический анализ некоторого звучания, записанного на плёнку тонфильма, выполняется непрерывно. Такой метод представляет, очевидно, значительную практическую ценность. Необходимо только сделать одно замечание. Если получаемое в приборе Борна разложение следует считать, в принципе, совершенно строгим, ибо функция по определению равна $f(x)$ в (a, b) и нулю вне этого интервала, то Браун и Литтлтон имеют дело с функцией, вообще говоря, не равной нулю вне интервала, вырезаемого окном прибора. Это значит, что их прибор допускает ошибку, тем большую, чем уже окно и чем ниже частота данной гармоникки. Здесь выступает известное из теории интеграла Фурье соотношение неопределённости. Если стремиться расширить окно, т. е. интервал (a, b) , то прибор будет более точно передавать истинную картину гармоник, но вместе с тем потеряет в „разрешающей способности“, в смысле возможности отнести спектр к какому-то определённом отрезку времени.

Можно упомянуть, что сделанная указанными только что авторами попытка получения акустического спектра непрерывного звукового процесса не является единственной. В частности, аналогичную задачу решает установка, сконструированная в лаборатории компании Белл⁵. Здесь применён принцип гетеродинного гармонического анализатора, а запись не ведётся на плёнку, но непрерывно демонстрируется на небольшом экране. Одним из применений своего метода авторы считают возможность „зрительного слушания“: так, глухой, после соответствующего обучения, сможет читать глазами звук, спектр которого проходит перед ним на экране.

Б. Багаряцкий

ЦИТИРОВАННАЯ ЛИТЕРАТУРА

1. Max Born, R. Fürth and R. W. Pringle. *Nature*, 156, 756 (1945).
2. R. Fürth and R. W. Pringle. *Phil. Mag.*, 37, 1 (1946).
3. H. Montgomery. *Bell Syst. Techn. Journ.*, 17, 406 (1938).
4. D. Brown and J. W. Littleton. *Nature* 160, 709 (1947).
5. *Journ. Acoust. Soc. Amer.*, 18, 1-89 (1946).